

清水建設(株)研究所 正員 〇丹羽千明
同 正員 幸山照康

1はじめに

生物化学的接触酸化処理法において、酸素供給の手段として採用されている方法には、散気法、ポンプ循環法表面曝気法があるが、ポンプ循環法では固定床内に均一に廃水を循環しきるため汚泥物を均等に固定床付着微生物に供給が出来るうえ、まんべんなく酸素を供給できるので嫌気性部分を生じないという利点がある。ここでは、ポンプ循環による酸素供給方法に関する検討し、実験式を求め、これを実験装置へ応用する場合について考察した。

2 実験装置と実験方法

実験装置；図-1に実験装置の概要を示す。循環ポンプにより槽内底部に配置した配管から均等に廃水を吸引し、導入管を経由して上部の配管にあけた多数の穴から噴出することにより、大気中の酸素を廃水中に供給する。

実験方法；塩化コバルトを触媒とする重硫酸ソーダ法により槽内溶存酸素(DO)の経時変化を求めた。

実験条件；表-1に示す要因と水準に従い統計的ケースの実験を行った。

3 実験結果と考察

気液接觸でのガス吸収速度は、二重膜理論により①式で示される。

$$\frac{dm}{dt} = k_{La} A (C_s - C) \quad \text{--- --- ①}$$

①の両辺を有効槽容積Vで割れば、

$$\frac{1}{V} \cdot \frac{dm}{dt} = \frac{dc}{dt} = k_{La} (C_s - C) \quad \text{--- --- ②}$$

②を積分すると

$$k_{La} = \frac{2.303}{t_a - t_i} \log \frac{C_s - C_i}{C_s - C} \quad \text{--- --- ③}$$

槽内水温における飽和DO濃度C_sを求める、片対数グラフ上に槽内DOが零から上昇しはじめてから経過時間tと溶存酸素不足濃度(C_s-C)をプロットし、その傾きから流体移動容量係数k_{La}を算出し、結果を表-2に示した。

各要因の主効果と交互作用に関する分散分析を行なった結果を表-3に示す。これからわかるように、危険率5%のF検定において各要因相互の交互作用はすべて有意ではないという結果が得られた。従って、以後主効果を中心とする。

$$k_{La} = k_{La} \frac{V}{A} = k_{La} \cdot \frac{10^3 V}{\alpha \pi D H} \quad \text{--- --- ④}$$

実際には、酸素の吸収は噴出水流が大気中を飛行しているときのみではなく水面に衝突する際にも起こるが、後者の影響は実験式の係数、及び指數の中に含めて考えた。④式から求めたk_{La}を表-2に示す。k_{La}に対し有意の一つの因子を変数にし、他をパラメーターとした片対数の一連のグラフを描く。その二例を図-2, 3に示した。k_{La}を噴出速度、噴出高さ、噴出口径の函数として⑤式で表わし、これら一連のグラフから各々の勾配として指數、d, β, δが次々-0.79, 1.34, 1.12と求められた。

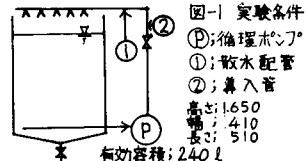


表-1 実験条件

要因	単位	水準
A 噴出高さ H	m	0.7, 0.5, 0.3
B 噴出口の口径 D	mm	5.5, 8.0, 12.0
C 噴出速度 V	m/sec	0.424, 0.848, 1.614

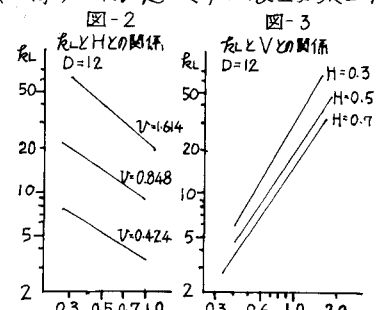
表-3 分散分析表

要因	自由度の分散(F)	F ₀
A	2	10.33 4.49*
B	2	1.02 0.44
C	2	104.07 45.25*
AXB	4	2.27 0.99
AXC	4	6.53 2.84
BXC	4	2.31 1.00
E	8	2.30

*注：上段 k_{La}、下段 k_L

表-2 k_{La}及びk_Lの一覧表

D	5.5			8.0			12.0		
	H	V	k _{La}	H	V	k _{La}	H	V	k _{La}
0.7	0.424	0.848	1.614	0.424	0.848	1.614	0.424	0.848	1.614
	3.47	9.22	10.64	3.57	7.68	7.69	3.63	9.17	12.85
0.5	1.77	4.71	10.33	2.65	5.71	10.28	4.04	10.21	28.6
	3.64	8.42	10.15	3.62	7.41	7.55	3.17	9.19	11.84
0.3	2.61	6.03	3.81	3.27	6.70	12.28	4.94	14.32	36.9
	2.73	7.78	9.53	2.67	7.01	7.60	2.62	7.84	12.10
	323	10.15	21.51	4.62	12.15	23.71	6.81	20.38	62.91



$\tau_L = \tau_{LO} \cdot H^d \cdot V^p \cdot D^r$ --- ⑤ 各実験条件下で④式で得られた値を⑤式に代入して τ_{LO} を算出し、その平均値を実験式における、もとめる τ_{LO} とした。(標準偏差 σ_0) 得られた実験式は⑥式であり、さらに温度係数を 1.032 として 20℃に換算すると⑦式となる。

$$\tau_L = 0.598 \times \frac{V^{1.4} \times D^{1.2}}{H^{0.7}} \quad \text{--- ⑥} \quad \tau_{LO} = 0.48 \times \frac{V^{1.4} \times D^{1.2}}{H^{0.7}} \quad \text{--- ⑦}$$

⑦式は次のよう解釈される。

(1) V , D の指數が 1 以上の値として求められており、酸素は噴出水柱側面だけからではなく、槽内表面水からも吸収されるこことを示している。

(2) D 及び V がともに大きなときは、⑦式からの計算より実

験値の方が若干大きくなる傾向にあるが、これは噴出水柱の形状が円柱から離れてくるためと考えられる。

V , H , D を選定したとき、以上の諸式等を用いて廃水処理に要求される酸素を供給するために必要な循環水の空間速度 V (循環水量 / 充填材容量), 線速度 LV , 横断面積当たりの噴出口数, 槽上部及下部での DO 濃度等を算出するプログラムを表-4 のフローシートにもとづき作製した。

表-5 の廃水処理条件にもとづき計算した結果の一例を図-4～8 に示した。得られた結果を統観すると V , H , D , 温度, 槽平均要求 DO 濃度 C_d などの相異により、必要な SV は $10 \sim 25 [\text{hr}^{-1}]$, LV は $40 \sim 100 [\text{m}^3/\text{hr}]$ の範囲にあり、実情にあつた値である。図-4 より、必要な SV は噴出速度にねり影響を受け、特に $10 [\text{m/sec}]$ 以下では急に増加することがわかる。また、槽平均要求 DO 濃度を高くとると、必要な SV が増加する。図-5 より噴出高さを変化させたときも必要な SV はねりに変化するが、流速による影響よりは小さいことがわかる。図-6 から噴出口径による SV , LV の差異はさらに小さいことがわかる。また、図-7 から槽内平均要求 DO 濃度を大きくとろうとするとき必要な SV は急激に増加することがわかる。図-8 は槽上部 DO 濃度 C_u , 槽下部 DO 濃度 C_b 及び $(C_u - C_b)$ と SV との関係を示したものである。酸素消費量が定まれば、槽内平均 DO 濃度と SV のみによつて C_u , C_b が求められるが、同図から SV が大きくなるにつれて循環量は大きくなり、 C_u , C_b ($C_u - C_b$) に近づき、 $(C_u - C_b)$ は余々に減少することがわかる。その他、 SV に対する水温の影響はそれほど大きくならないことも判明した。

4.まとめ

(1) 生物化学的接触酸化法において、廃水をポンプ循環し槽上部の円柱の穴から噴出することによつて酸素を供給する手法をとる場合、液膜係数は実験式⑦によって算出出来る。

(2) 必要な空間速度、線速度、液膜率に対し、噴出流速、噴出高さの影響及び噴出口径の影響に比べ大きい。

(3) 酸素供給率、固定床表面からの微生物の剥離、噴出口での気泡等、 SV , LV , 建設コスト等を考慮して、噴出高さは 0.5 ～ 0.8 m、噴出速度は 1.0 ～ 1.5 m/sec、噴出口径は 12 ～ 20 mm にとろのが得策と考えられる。

記号； d_m ：時間当たりに溶解する酸素の重量 RM ：循環率 A ；気液接触面積 C_s ；飽和 DO 濃度 C ；液中の DO 濃度 C_u, C_b ；時間当たりにおける DO 濃度 D ；噴出口の直径 H ；噴出高さ α ；噴出口の数

表-4 電算プログラムのフローシート

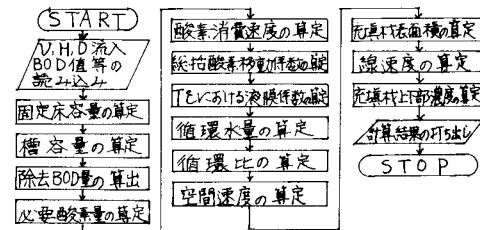


表-5 廃水処理条件一覧表

名	杯	次元	数	値
原水 BOD 濃度	PPM			200
BOD 容積負荷	[kg/m ³ ·日]		1.0	(0.6, 1.5)
充填材高さ	m			4
水温	°C			15, 20, 25, 30
槽内平均 DO 濃度	PPM			2, 3, 4, 5
槽容量	m ³			充填材容量の 2 倍とする
噴出高さ	m			0.3, 0.5, 0.7, 1.0, 1.5
噴出速度	m/sec			0.5, 0.7, 1.0, 1.5, 2.0
噴出口径	mm			5.0, 7.0, 10.0, 15.0, 20.0

